

## САМОСОГЛАСОВАННАЯ ГАУССОВА МОДЕЛЬ НЕПЕРТУРБАТИВНОГО КХД-ВАКУУМА

*А. П. Бакулев, А. В. Пимиков*

Объединенный институт ядерных исследований, Дубна

Показано, что гауссова модель нелокальности вакуумных кварковых и кварк-глюонных конденсатов в КХД нарушает поперечность коррелятора двух векторных токов. Предложена улучшенная гауссова модель непerturbативного вакуума КХД, согласованная с уравнениями движения КХД, в которой указанное нарушение калибровочной инвариантности минимизировано. Получены уточненные конформные моменты  $\langle \xi^{2N} \rangle_\pi$  ( $N = 1, \dots, 5$ ) пионной амплитуды распределения в новой модели вакуума КХД, в том числе обратные моменты  $\langle x^{-1} \rangle_\pi$ , недоступные для стандартных правил сумм КХД. Построены допустимые области значений гегенбауэровских коэффициентов  $a_2$  и  $a_4$  пионной амплитуды распределения для двух значений параметра нелокальности вакуума КХД  $\lambda_q^2 = 0,4$  и  $0,5 \text{ ГэВ}^2$ .

We show that the minimal Gaussian model of nonlocal vacuum quark and quark-gluon condensates in QCD generates the non-transversity of vector current correlators. We suggest the improved Gaussian model of the nonperturbative QCD vacuum, which respects QCD equations of motion and minimizes the revealed gauge-invariance breakdown. We obtain the refined values of pion distribution amplitude (DA) conformal moments  $\langle \xi^{2N} \rangle_\pi$  ( $N = 1, \dots, 5$ ) using the improved QCD vacuum model, including the inverse moment  $\langle x^{-1} \rangle_\pi$ , being inaccessible if one uses the standard QCD sum rules. We construct the allowed region for Gegenbauer coefficients  $a_2$  and  $a_4$  of the pion DA for two values of the QCD vacuum nonlocality parameter,  $\lambda_q^2 = 0.4$  and  $0.5 \text{ GeV}^2$ .

PACS: 42.62.Fi

### 1. ВВЕДЕНИЕ

В работах [1–5] для анализа мезонных амплитуд распределения (АР) и формфакторов было предложено обобщение метода ПС КХД, основанное на учете нелокальности вакуумных конденсатов (НВК) [6–8] глюонных и кварковых полей в непerturbативном КХД-вакууме. Именно на основе этого обобщения возможно вычисление реалистичных функций распределения адронов, для которых эффекты нелокальности вакуума непerturbативной КХД являются ключевыми [9–13]. При этом выбор модели, параметризующей НВК, может играть важную роль.

В этом подходе вводятся биллокальные (кварк-антикварковые) НВК следующего вида (далее  $x^2 = x_E^2 = -x_0^2 - \mathbf{x}^2 < 0$  — мы будем работать в евклидовой области, причем индекс «E» для краткости опускаем, и  $A_0 = 2\alpha_s \pi \langle \bar{\psi}\psi \rangle^2 / 81$ ):

$$M_S(x) \equiv \langle \bar{\psi}(0) \mathcal{E}(0, x) \psi(x) \rangle = \langle \bar{\psi}\psi \rangle \int_0^\infty f_S(\alpha) e^{\alpha x^2/4} d\alpha;$$

$$M_\mu(x) \equiv \langle \bar{\psi}(0) \gamma_\mu \mathcal{E}(0, x) \psi(x) \rangle = -ix_\mu A_0 \int_0^\infty f_V(\alpha) e^{\alpha x^2/4} d\alpha;$$

$$\mathcal{E}(0, x) = \mathcal{P} \exp \left[ ig \int_0^x A_\mu(\tau) d\tau^\mu \right],$$

которые параметризуются в общем случае функциями распределения по виртуальности  $f_S(\alpha)$  и  $f_V(\alpha)$ . Явный вид этих функций должен браться, вообще говоря, из конкретной модели непертурбативного вакуума КХД, полученной либо точным решением КХД, либо в каком-нибудь приближении (например, при моделировании КХД на решетке). В пионерских работах [1–4] в отсутствие такой модели было предложено пользоваться первым нетривиальным приближением, учитывающим конечную ширину пространственного распределения кварков в вакууме:

$$f_S(\alpha) = \delta \left( \alpha - \frac{\lambda_q^2}{2} \right); \quad f_V(\alpha) = \delta' \left( \alpha - \frac{\lambda_V^2}{2} \right). \quad (1.1)$$

В этой модели, так называемом «дельта-анзаце», в качестве параметра используется средняя виртуальность кварков в вакууме:

$$\lambda_q^2 \equiv \frac{\langle \bar{\psi} D^2 \psi \rangle}{\langle \bar{\psi} \psi \rangle},$$

так что выполняются следующие условия нормировки:

$$\int_0^\infty f_S(\alpha) d\alpha = 1; \quad \int_0^\infty \alpha f_S(\alpha) d\alpha = \frac{\lambda_q^2}{2}. \quad (1.2)$$

Старшие моменты распределения  $f_S(\alpha)$  связаны с вакуумными средними кварковых полей более высоких размерностей. Дельта-анзац (1.1) отвечает гауссова,  $\sim \exp(\lambda_q^2 x^2/8)$ , форма НВК в координатном представлении

$$M_S(x) = \langle \bar{\psi} \psi \rangle e^{\lambda_q^2 x^2/8}; \quad M_\mu(x) = \frac{i}{4} x_\mu x^2 A_0 e^{\lambda_V^2 x^2/8}, \quad (1.3)$$

поэтому в дальнейшем мы будем называть его гауссовой моделью НВК. Ширина такого распределения приближенно равна  $2,5/\lambda_q$  и хорошо согласуется с решеточными данными (на рис. 1 этому значению соответствует абсцисса символа ✱). Эта модель учитывает одно, но очень важное, свойство непертурбативного вакуума — кварки могут течь через вакуум с ненулевым импульсом  $k$ , причем средняя виртуальность кварков  $\langle k^2 \rangle = \lambda_q^2/2$ , см. (1.2). Поведение такого типа при промежуточных значениях  $x \lesssim 1$  фм было подтверждено позднее в инстантонной модели вакуума КХД [16].

Следует сказать, что гауссова асимптотика при очень больших  $|x|$  не отвечает ожидаемому экспоненциальному,  $\sim \exp(-\Lambda|x|)$ , спадаанию НВК, следующему из модели ограниченных инстантонов [17], а также из эффективной теории тяжелых кварков [18]. Однако для моментных ПС КХД, в которых изучаются усредненные по функциям распределения НВК величины, — моменты AP [1, 4], формфакторы [3, 19] — эта неверная

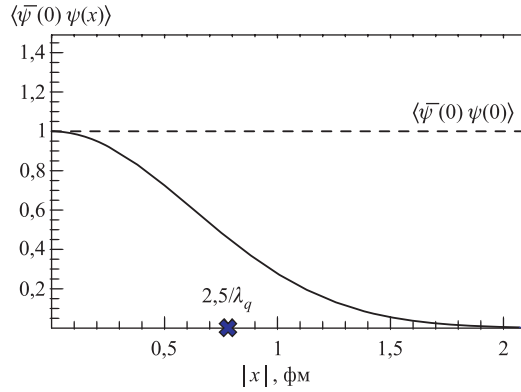


Рис. 1. Нелокальность кваркового конденсата по решеточным данным пизанской группы [14, 15] (сплошная линия). Штриховая линия отвечает локальному пределу, когда кварковый конденсат постоянен и не зависит от расстояния  $x$  между кварками

асимптотика НВК, как и более детальная информация о функциях распределения НВК, не играют большой роли (более подробное обсуждение этого вопроса см. в [15]).

В первых работах по ПС с НВК предполагалось, что параметры нелокальности разных конденсатов (скалярного,  $\lambda_q$ , векторного,  $\lambda_V$ , и кварк-глюон-антикваркового,  $\lambda_{\bar{q}Aq}$ ) могут различаться [2, 4]. В дальнейшем для упрощения модели и уменьшения числа параметров был введен единый параметр нелокальности — как для скалярного и векторного НВК (см. (1.1)), так и для кварк-глюон-кварковых (трилокальных) НВК [10–12]:  $\lambda_V = \lambda_{\bar{q}Aq} = \lambda_q$ . Как будет показано в нашей работе, такое упрощение приводит к нарушению условия поперечности коррелятора векторных токов  $\Pi_{\mu\nu}(q)$ . Поэтому построение гауссовой модели НВК, согласованной с уравнениями движения безмассовой КХД, которая минимизирует указанное нарушение поперечности, представляется физически осмысленным. Полное устранение непоперечности оказалось невозможным, что мы связываем с ограниченностью гауссова приближения. Следует отметить, что в моделях с нелокальным взаимодействием коррелятор векторных токов может быть явно поперечным [20, 21]. Поэтому в дальнейшем мы планируем выйти за рамки гауссовых моделей КХД-вакуума и попытаться построить модель нелокального вакуума, согласованную с  $U(1)$ -калибровочной инвариантностью.

В разд. 2 обсуждаются нелокальные вакуумные конденсаты КХД: билкальные ( $\langle \bar{\psi}(0) \psi(x) \rangle$  и  $\langle \bar{\psi}(0) \gamma_\mu \psi(x) \rangle$ ), трилокальные ( $\langle \bar{\psi}(0) (\gamma_5) \gamma_\mu \hat{A}_\nu(y) \psi(x) \rangle$ ) и четырехкварковые ( $\langle \bar{\psi}(0) \psi(y) \bar{\psi}(z) \psi(x) \rangle$ ). Здесь же получены уравнения, следующие из уравнений движения КХД и связывающие билкальный векторный конденсат с суммой трилокальных. В разд. 3 определено операторное разложение для  $VV$ -коррелятора  $\Pi_{\mu\nu}$  с учетом вкладов нелокальных конденсатов. Разд. 4 посвящен анализу возможных дельта-анзацев, которые минимизируют непоперечную часть  $\Pi_L$ . В разд. 5 приведены результаты анализа ПС КХД для АР пиона, основанные на полученном базовом анзаце. В заключении суммированы основные выводы работы.

## 2. ОСНОВНЫЕ ВАКУУМНЫЕ КОНДЕНСАТЫ

В дальнейшем мы будем использовать калибровку Фока–Швингера:

$$x^\mu A_\mu(x) = 0,$$

в которой калибровочное поле непосредственно связано с напряженностью [22]

$$A_\mu(x) = x^\nu \int_0^1 G_{\nu\mu}(\tau x) \tau d\tau.$$

Поэтому все струнные факторы Фока–Швингера  $\mathcal{E}(0, x) \equiv \mathcal{P} \exp \left[ ig \int_0^x A_\mu(z) dz^\mu \right]$  при выборе пути интегрирования в виде прямой линии, соединяющей точки 0 и  $x$ , обращаются в единицы, и мы их будем опускать.

**2.1. Билокальные кварковые конденсаты.** Вакуумное среднее биллокального по кварковым полям оператора в общем виде можно представить

$$\langle \bar{\psi}_A^a(0) \psi_B^b(x) \rangle = \frac{\delta^{ab}}{N_c} \int_0^\infty \left\{ \frac{\delta_{AB}}{4} \langle \bar{\psi} \psi \rangle f_S(\alpha) - \frac{\hat{x}_{BA}}{4} i A_0 f_V(\alpha) \right\} e^{\alpha x^2/4} d\alpha, \quad (2.1)$$

где  $A_0 = 2\alpha_s \pi \langle \bar{\psi} \psi \rangle^2 / 81$ , а  $f_S(\alpha)$  и  $f_V(\alpha)$  — функции, параметризующие скалярный и векторный конденсаты соответственно. Переход к локальному пределу определяется следующим образом:

$$f_S^{\text{loc}}(\alpha) = \delta(\alpha); \quad f_V^{\text{loc}}(\alpha) = \delta'(\alpha).$$

**2.2. Трилокальные кварк-глюонные конденсаты.** Трилокальные вакуумные средние в калибровке Фока–Швингера удобно выразить через три скалярные функции (см. [2–4, 11])

$$\begin{aligned} M_{\mu\nu}(x, y) &\equiv \langle \bar{\psi}(0) \gamma_\mu (-g \hat{A}_\nu(y)) \psi(x) \rangle = \\ &= (y_\mu x_\nu - g_{\mu\nu}(xy)) \bar{M}_1(x^2, y^2, (x-y)^2) + \\ &\quad + (y_\mu y_\nu - g_{\mu\nu} y^2) \bar{M}_2(x^2, y^2, (x-y)^2), \quad (2.2) \\ M_{5\mu\nu}(x, y) &\equiv \langle \bar{\psi}(0) \gamma_5 \gamma_\mu (-g \hat{A}_\nu(y)) \psi(x) \rangle = i \varepsilon_{\mu\nu\gamma\delta} \bar{M}_3(x^2, y^2, (x-y)^2), \end{aligned}$$

где

$$\bar{M}_i(x^2, y^2, (x-y)^2) = A_i \int_0^\infty \int_0^\infty \int_0^\infty d\alpha_1 d\alpha_2 d\alpha_3 f_i(\alpha_1, \alpha_2, \alpha_3) e^{(\alpha_1 x^2 + \alpha_2 y^2 + \alpha_3 (x-y)^2)/4}.$$

Исходя из предположения, что кварк и антикварк в вакуумном конденсате в определенном смысле взаимозаменяемы, поскольку взаимодействуют с глюоном одинаково, мы можем положить

$$f_i(\alpha_1, \alpha_2, \alpha_3) = f_i(\alpha_1, \alpha_3, \alpha_2). \quad (2.3)$$

Коэффициенты  $A_i = \left\{ -\frac{3}{2}, 2, \frac{3}{2} \right\} A_0$ , а локальный предел для параметрических функций  $f_i^{\text{loc}}(\sigma, \rho, \tau) = \delta(\sigma) \delta(\rho) \delta(\tau)$ .

**2.3. Уравнения движения КХД и их следствия для конденсатов.** Уравнения движения для раздвинутого кваркового тока  $j_\mu(x) = \bar{\psi}(0)\gamma_\mu\psi(x)$  в безмассовой КХД записываются так:

$$\nabla^\mu j_\mu(x) = 0,$$

где  $\nabla_\mu^{AB}$  — ковариантная производная. Если произвести усреднение этого операторного уравнения по физическому вакууму КХД, то мы получим такое уравнение для конденсатов:

$$\partial^\mu \langle 0 | \bar{\psi}(0) \gamma_\mu \psi(x) | 0 \rangle = i \langle 0 | \bar{\psi}(0) \gamma_\mu g \hat{A}^\mu(x) \psi(x) | 0 \rangle; \quad (2.4a)$$

$$\partial^\mu M_\mu(x) = -i M_\mu^\mu(x, x). \quad (2.4b)$$

Сначала разберемся с левой частью этого соотношения. Подставим в него выражение (2.1) и дельта-анзац (1.1):

$$\partial^\mu M_\mu(x) = + \frac{i A_0 x^2}{2} \left[ 3 + \frac{\Lambda x^2}{4} \right] e^{\Lambda x^2/4}.$$

Правая же часть (2.4) сразу получается при использовании (2.2):

$$-i M_\mu^\mu(x, x) = + \frac{i A_0 x^2}{2} \int_0^\infty \langle \langle 12f_2 - 9f_1 \rangle \rangle(\alpha) e^{\alpha x^2/4} d\alpha,$$

где

$$\langle \langle f_i \rangle \rangle(\alpha) \equiv \int_0^1 \alpha dx \int_0^\infty d\alpha_3 f_i(x\alpha, (1-x)\alpha, \alpha_3).$$

Из (2.4) следует

$$\int_0^\infty \langle \langle 12f_2 - 9f_1 \rangle \rangle(\alpha) e^{\alpha x^2/4} d\alpha = \left[ 3 + \frac{\Lambda x^2}{4} \right] e^{\Lambda x^2/4}. \quad (2.5)$$

Отсюда сразу видно, что при использовании минимального дельта-анзаца для функций  $f_1$  и  $f_2$

$$f_i^{\text{min}}(\alpha_1, \alpha_2, \alpha_3) = \delta(\alpha_1 - x_i \Lambda) \delta(\alpha_2 - y_i \Lambda) \delta(\alpha_3 - z_i \Lambda) \quad (2.6)$$

для того, чтобы в (2.5) с обеих сторон была одна и та же экспоненциальная функция, мы должны положить

$$x_i + y_i = 1. \quad (2.7)$$

Но для равенства в (2.5) этого явно недостаточно: минимальный анзац генерирует только первое слагаемое в квадратных скобках правой части (2.5), а именно,  $3e^{\Lambda x^2/4}$ . Чтобы

исправить этот недостаток, мы предлагаем вместо (2.6) использовать улучшенный дельта-анзац:

$$f_i(\alpha_1, \alpha_2, \alpha_3) = (1 + X_i \partial_{x_i} + Y_i \partial_{y_i} + Z_i \partial_{z_i}) \delta(\alpha_1 - x_i \Lambda) \delta(\alpha_2 - y_i \Lambda) \delta(\alpha_3 - z_i \Lambda). \quad (2.8)$$

Из (2.5) тогда получаем условие для коэффициентов  $X_i$  и  $Y_i$ :

$$12(X_2 + Y_2) - 9(X_1 + Y_1) = 1. \quad (2.9)$$

**2.4. Четырехкварковые конденсаты.** Вакуумные конденсаты четырехкварковых операторов с помощью ГВД преобразуются в произведения двух скалярных билочалов (для краткости записи мы включили в операторы  $A$  и  $B$  также и цветовые матрицы  $t^a$  и  $t^b$ ):

$$\langle \bar{\psi}(0) A \psi(y) \bar{\psi}(z) B \psi(x) \rangle \cong \left( \frac{-\text{Tr} AB}{16 N_c^2} \right) M_S(x^2) M_S((z-y)^2). \quad (2.10)$$

Ясно, что из-за ослабления корреляций ГВД хорошо работает, если расстояния  $y^2$  и  $(z-x)^2$  велики по сравнению с характерным масштабом нелокальности КХД-вакуума  $1/\lambda_q \sim 0,3$  фм. А вот в случае, когда  $(z-x)^2 \ll 1/\lambda_q^2$  или  $y^2 \ll 1/\lambda_q^2$ , мы можем иметь нарушение ГВД в виде (2.10) за счет проявления истинно четырехкварковых корреляций. Учесть это проявление можно введением формфактора, учитывающего разнос кварковых пар  $(0, x)$  и  $(z, y)$ , например, так:

$$\langle \bar{\psi}(0) A \psi(y) \bar{\psi}(z) B \psi(x) \rangle \cong \left( \frac{-\text{Tr} AB}{16 N_c^2} \right) M_S(x^2) M_S((z-y)^2) [1 + \Phi_4(y^2 + (x-z)^2)],$$

где  $\Phi_4(x^2)$  быстро убывает при  $x^2 \gg 1/\lambda_q^2$ . Такая модификация может быть проведена, но она оказывается не очень важной. Ее влияние мы обсудим в отдельной публикации, а в этой работе мы полагаем формфактор  $\Phi_4(x^2) = 0$ .

### 3. ОПЕРАТОРНОЕ РАЗЛОЖЕНИЕ КОРРЕЛЯТОРА ДВУХ ВЕКТОРНЫХ ТОКОВ

Рассмотрим коррелятор

$$\Pi_{\mu\nu}^N = i \int d^4x e^{iqx} \langle 0 | T [J_\mu^N(0) J_\nu^+(x)] | 0 \rangle \quad (3.1)$$

двух векторных токов

$$J_\nu^+(x) = \bar{u}(x) \gamma_\nu d(x), \quad J_\mu(0) = \bar{d}(0) \gamma_\mu u(0),$$

отвечающих заряженному  $\rho$ -мезону, с обобщенным первым током

$$J_\mu^N(0) = \bar{d}(0) \gamma_\mu \left( -in \vec{\nabla}_0 \right)^N u(0) \equiv \bar{d}(0) \gamma_\mu \left( -in \vec{\nabla}_y \right)^N u(y) \Big|_{y=0},$$

где  $n$  — произвольный светоподобный вектор,  $n^2 = 0$ , удовлетворяющий  $nq \neq 0$ .

Для сокращения записи аргумент  $q$  у  $\Pi_{\mu\nu}^N(q)$  будем в дальнейшем опускать и писать просто  $\Pi_{\mu\nu}^N$ . Отметим, что коррелятор  $\Pi_{\mu\nu}^N$  зависит от двух векторов  $q$  и  $n$ , что позволяет его записать в виде разложений по следующим лоренцевым структурам:

$$\Pi_{\mu\nu}^N = A_N q_\mu q_\nu + B_N g_{\mu\nu} q^2 + C_N \frac{n_\mu n_\nu}{nq^2} q^4 + D_N \frac{q_\mu n_\nu}{nq} q^2 + E_N \frac{n_\mu q_\nu}{nq} q^2 \quad (3.2)$$

и

$$\begin{aligned} \Pi_{\mu\nu}^N = & \Pi_{T_1}^N [q_\mu q_\nu - g_{\mu\nu} q^2] + \Pi_{T_2}^N \left[ g_{\mu\nu} q^2 + \left( \frac{n_\mu n_\nu}{nq^2} q^2 - \frac{q_\mu n_\nu + n_\mu q_\nu}{nq} \right) q^2 \right] + \\ & + \Pi_{T_3}^N \left[ q_\mu q_\nu - \frac{q_\mu n_\nu}{nq} q^2 \right] + \Pi_L^N \left[ \frac{q_\mu n_\nu + n_\mu q_\nu}{nq} q^2 \right] + \Pi_{LL}^N \frac{n_\mu n_\nu}{nq^2} q^4. \end{aligned} \quad (3.3)$$

Лоренц-инвариантные функции  $A_N, \dots, E_N$  и  $\Pi_{T_i}^N, \Pi_L^N, \Pi_{LL}^N$  связаны простыми алгебраическими соотношениями

$$\Pi_{T_1}^N = A_N + D_N - E_N; \quad \Pi_{T_2}^N = A_N + B_N + D_N - E_N; \quad \Pi_{T_3}^N = E_N - D_N; \quad (3.4a)$$

$$\Pi_L^N = A_N + B_N + D_N; \quad \Pi_{LL}^N = C_N + E_N - A_N - B_N - D_N. \quad (3.4b)$$

Если учесть сохранение векторного тока  $J_\nu(x)$ , то  $q^\nu \Pi_{\mu\nu}^N = 0$ , и мы получим

$$q^\nu \Pi_{\mu\nu}^N = q_\mu q^2 \Pi_L^N + \frac{n_\mu q^4}{nq} (\Pi_L^N + \Pi_{LL}^N) = 0 \quad (3.5)$$

или, переписывая через  $A_N, \dots, E_N$ ,

$$q^\nu \Pi_{\mu\nu}^N = q_\mu q^2 (A_N + B_N + D_N) + \frac{n_\mu q^4}{nq} (C_N + E_N) = 0. \quad (3.6)$$

Мы будем анализировать функцию  $\Pi_L^N$ , выделяемую проектором  $n^\mu q^\nu / (nq)$ , поскольку именно она может давать искажение коэффициента  $A_N$ , ответственного за амплитуды распределения ведущего твиста.

В  $O(\alpha_s \langle \bar{\psi}\psi \rangle^2)$ -порядке вклады в  $\Pi_{\mu\nu}^N$  генерируются бислокальным векторным, кварк-глюон-кварковым (см. рис. 2) и четырехкварковым (см. рис. 3) конденсатами:

$$\Pi_{\mu\nu}^N = \Delta_{2V} \Pi_{\mu\nu}^N + \Delta_{\bar{q}Aq} \Pi_{\mu\nu}^N + \Delta_{4Q_1} \Pi_{\mu\nu}^N + \Delta_{4Q_2} \Pi_{\mu\nu}^N + (3. С.). \quad (3.7)$$

(3. С. обозначает здесь вклад зеркально-сопряженных диаграмм: для рис. 2 это будут диаграммы, в которых НЛК вставлены не в верхнюю линию, а в нижнюю). Нас интересуют величины, отвечающие непоперечной структуре  $\Pi_L^N$  в представлении (3.4б),

$$\Delta_k \Pi_L^N(M^2) \equiv \frac{M^4}{2A_0} \widehat{B}_{-q^2 \rightarrow M^2} \frac{\Delta_k \Pi_{\mu\nu}^N n^\mu q^\nu}{nq} = \int_0^1 x^N \varphi_{k,L}(x, M^2) dx,$$

где  $k = 2V, \bar{q}Aq, 4Q_1$  и  $4Q_2$ . Здесь, так же как и при анализе правил сумм КХД, мы работаем с борелизованными величинами, которые получаются после применения

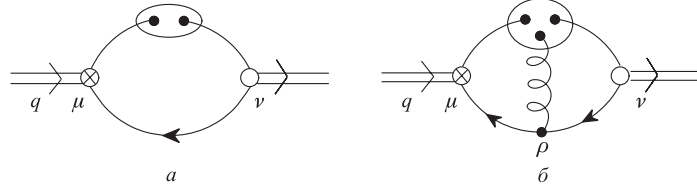


Рис. 2. Вклад билокального векторного ( $\Delta_{2V}\Pi_{\mu\nu}^N$ ) (а) и кварк-глюонного-кваркового ( $\Delta_{\bar{q}Aq}\Pi_{\mu\nu}^N$ ) (б) конденсатов в коррелятор  $\Pi_{\mu\nu}^N$

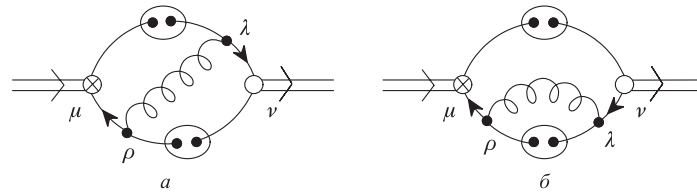


Рис. 3. Вклады четырехкваркового конденсата ( $\Delta_{4Q_1}\Pi_{\mu\nu}^N$ ) (а),  $\Delta_{4Q_2}\Pi_{\mu\nu}^N$  (б) в коррелятор  $\Pi_{\mu\nu}^N$

преобразования Бореля  $\widehat{B}_{-q^2 \rightarrow M^2}$ . Используя параметризации вакуумных конденсатов (2.1), (2.2), получим для этих вкладов:

$$\varphi_{2V,L}(x, M^2) = -M^4 x (f_V(M^2 \bar{x}) - M^2 \bar{x} f'_V(M^2 \bar{x})); \quad (3.8a)$$

$$\Delta_{\bar{q}Aq}\Pi_L^N(M^2) = \sum_{i=1}^3 \frac{2A_i}{A_0} \iiint_{000}^{\infty} d\alpha_1 d\alpha_2 d\alpha_3 f_i(\alpha_1, \alpha_2, \alpha_3) \frac{G_i(\bar{\Delta}_1 - \Delta_2)^N + H_i \bar{\Delta}_1^{N+2}}{(N+2) \bar{\Delta}_1^3 \Delta_2^3}; \quad (3.8б)$$

$$\Delta_{4Q_1}\Pi_L^N(M^2) = 18 \frac{(\log(\bar{\Delta}) F_1 + F_2) \bar{\Delta}^{N+2} + F_3}{(N+2)^2 (N+3) \Delta \bar{\Delta}^2}; \quad (3.8в)$$

$$\varphi_{4Q_2,L}(x, M^2) = 36 M^2 \frac{f_S(M^2 \bar{x})}{x}, \quad (3.8г)$$

где  $\Delta = \Lambda_S/M^2$ ;  $\bar{\Delta} = 1 - \Delta$ ;  $\Delta_i = \alpha_i/M^2$ ;  $\bar{\Delta}_1 = 1 - \Delta_1$ . Явный вид функций  $F_i$ ,  $G_i$  и  $H_i$  приведен в приложении А. Вклад  $\Delta_{4Q_1}\Pi_L^N(M^2)$  записан для анзаца (1.1).

Кроме вкладов, нарушающих поперечность коррелятора  $\Pi_{\mu\nu}$ , нас также интересуют вклады в структуру  $q_\mu q_\nu$ , определяющую функцию  $A_N$  (см. (3.4а)), которая просто равна сумме двух поперечных функций  $\Pi_{T_1}^N + \Pi_{T_2}^N$ . По этой причине мы в дальнейшем будем говорить об этой структуре как о поперечном вкладе

$$\Delta\Pi_T^N \equiv \Delta_{2V}\Pi_T^N + \Delta_{\bar{q}Aq}\Pi_T^N + \Delta_{4Q_1}\Pi_T^N + \Delta_{4Q_2}\Pi_T^N + (3.С.). \quad (3.9)$$

Он определяется вкладами отдельных диаграмм:

$$\Delta_k\Pi_T^N(M^2) \equiv \frac{M^6}{2A_0} \widehat{B}_{-q^2 \rightarrow M^2} \frac{\Delta_k\Pi_{\mu\nu}^N n^\mu n^\nu}{nq^2} = \int_0^1 x^N \varphi_{k,T}(x, M^2) dx \quad (3.10)$$



с  $k = 2V, \bar{q}Aq, 4Q_1$  и  $4Q_2$ , которые имеют вид

$$\varphi_{2V, T}(x, M^2) = 2M^4 x f_V(M^2 \bar{x}); \quad (3.11)$$

$$\varphi_{\bar{q}Aq, T}(x, M^2) = \frac{4A_i}{A_0} \iiint_{000}^{\infty} d\alpha_1 d\alpha_2 d\alpha_3 f_i(\alpha_1, \alpha_2, \alpha_3) \tilde{\varphi}_i(\alpha_1, \alpha_2, \alpha_3, M^2); \quad (3.12)$$

$$\varphi_{4Q_1, T}(x, M^2) = 36 \iint_{00}^{\infty} d\alpha_1 d\alpha_2 f_S(\alpha_1) f_S(\alpha_2) \tilde{\varphi}(\alpha_1, \alpha_2, M^2); \quad (3.13)$$

$$\varphi_{4Q_2, T}(x, M^2) = 0, \quad (3.14)$$

где функции  $\tilde{\varphi}_i(\alpha_1, \alpha_2, \alpha_3, M^2)$  и  $\tilde{\varphi}(\alpha_1, \alpha_2, M^2)$  в явном виде выписаны в приложении А.

#### 4. АНАЛИЗ ГАУССОВЫХ МОДЕЛЕЙ

Сохранение векторного тока требует поперечности по индексу  $\nu$  суммы вкладов векторного двухкваркового, кварк-глюон-кваркового и четырехкваркового конденсатов:

$$\Delta \Pi_L^N \equiv \Delta_{2V} \Pi_L^N + \Delta_{\bar{q}Aq} \Pi_L^N + \Delta_{4Q_1} \Pi_L^N + \Delta_{4Q_2} \Pi_L^N + (3. С.) = 0. \quad (4.1)$$

Заметим, что поскольку мы изучаем гауссову модель вакуума КХД, основанную на дельта-анзацах (1.1), (2.8), ожидать полного сокращения вкладов конденсатов в непоперечность не приходится: мы заложили гауссов характер пространственных зависимостей нелокальных конденсатов (1.3) и (2.8) извне (нам так удобнее считать), а не получили его как следствие КХД-уравнений движения. Поэтому наша задача состоит в выборе таких параметров анзацев, при которых  $|\Delta \Pi_L^N|$  минимален. Более точно, нас интересует минимальность не абсолютных значений всех моментов  $\Delta \Pi_L^N$  с  $N = 0, 1, 2, \dots$ , а их линейных комбинаций, отвечающих конформным моментам  $\Delta \langle \xi^{2N} \rangle_L$ , которые и анализируются в правилах сумм КХД для АР мезонов. Связь величин  $\Delta \langle \xi^{2N} \rangle_L$  с моментами  $\Delta \Pi_L^N$  рассмотрена в приложении Б.

Для определения таких значений наших параметров  $\{X_i\}$  мы вводим следующую оптимизационную функцию ( $\Delta \equiv \lambda_q^2 / (2M^2)$ ):

$$\Phi_K(\{X_i\}) = \sum_{N=0}^K w_N \langle \langle |\Delta \langle \xi^{2N} \rangle_L(\Delta; \{X_i\})|^2 \rangle \rangle;$$

$$\langle \langle F(\Delta) \rangle \rangle \equiv \frac{1}{17} \sum_{j=1}^{17} F(\Delta = 0,024j),$$

суммирующую вклады «норм» первых нетривиальных  $K$  моментов  $\Delta \langle \xi^n \rangle_L(\Delta; \{X_i\})$  с  $n = 0, 2, \dots, 2K$ . Для определения соответствующей «нормы» функции  $F(\Delta)$ ,  $\langle \langle F(\Delta) \rangle \rangle$ , мы численно «проинтегрировали» по  $\Delta \in [0-0,45]$ , т. е. по физически важной в правилах сумм области значений  $\Delta$ . Веса  $w_N$ , означающие важность вклада определенного конформного момента  $\Delta \langle \xi^{2N} \rangle_L$  в оптимизационную функцию  $\Phi_K(\{X_i\})$ , зададим, опираясь на значения

$$\Phi_{2N}^{\min} = \langle \langle |\Delta \langle \xi^{2N} \rangle_L(\Delta; \{X_v = 1, X_i = Y_i = Z_1 = 0, x_i = y_i = z_i = 1\})|^2 \rangle \rangle,$$

отвечающие минимальному анзацу (2.6), из работ [11–13]. Именно, положим

$$w_N = \frac{\Phi_0^{\min}}{\Phi_{2N}^{\min}},$$

приводя нормировку всех моментов в соответствие друг с другом: в случае минимального анзаца вклады всех моментов в оптимизационную функцию одинаковы и равны 1, так что  $\Phi_K(\{X_v = 1, X_i = Y_i = Z_1 = 0, x_i = y_i = z_i = 1\}) = K + 1$ . Это дает следующие численные значения для  $K = 5$ :

$$w_0 = 1; \quad w_2 = 13; \quad w_4 = 29; \quad w_6 = 45; \quad w_8 = 55; \quad w_{10} = 59.$$

Обсудим набор имеющихся в нашем распоряжении параметров  $\{X_i\}$ . Для скалярного и векторного конденсатов мы применяем дельта-анзацы (1.1) с одним свободным параметром  $X_v$ :

$$\lambda_V^2 = X_v \lambda_q^2. \quad (4.2)$$

Для кварк-глюон-кваркового конденсата мы применяем анзац (2.8) с  $\Lambda = X_v \lambda_q^2/2$  и используем условие (2.3):

$$Z_i = Y_i; \quad x_i = x; \quad y_i = z_i = 1 - x \quad (i = 1, 2, 3).$$

Эти параметры не свободны, поскольку имеется условие (2.9), из анализа уравнения движения (2.4). После учета указанных связей у нас остаются свободными следующие семь параметров:  $x, X_1, X_2, X_3, Y_1, Y_3$  и  $X_v$ . Минимизация функции  $\Phi_5(x, X_1, X_2, X_3, Y_1, Y_3, X_v)$  дает нам следующий набор параметров:

$$\begin{aligned} X_1 &= +0,082; \quad Y_1 = Z_1 = -2,243; \quad x_1 = x_2 = x_3 = x = 0,788; \quad X_v = 1,00; \\ X_2 &= -1,298; \quad Y_2 = Z_2 = -0,239; \quad y_1 = y_2 = y_3 = 1 - x = 0,212; \\ X_3 &= +1,775; \quad Y_3 = Z_3 = -3,166; \quad z_1 = z_2 = z_3 = 1 - x = 0,212, \end{aligned} \quad (4.3)$$

который мы будем рассматривать как базовый.

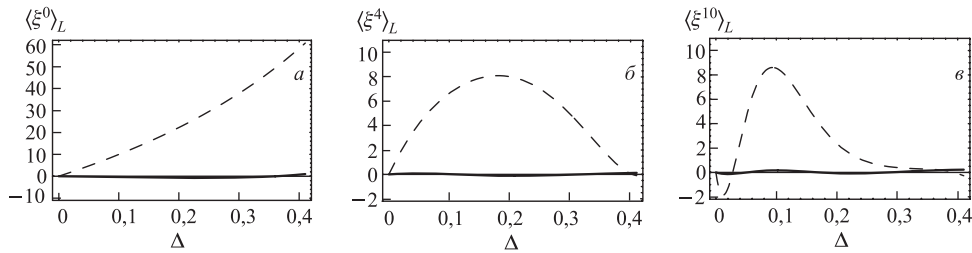


Рис. 4. Функции  $\Delta\langle\xi^{2N}\rangle_L(\Delta)$  при  $N = 0, 4, 10$  для улучшенных анзацев (сплошная линия) в сравнении с получаемой для минимального анзаца (штриховая)

Для обсуждения качества улучшенного анзаца мы приводим на рис. 4 графики функций  $\Delta\langle\xi^{2N}\rangle_L(\Delta)$  с  $N = 0, 2, 5$  для улучшенного анзаца (4.3) в сравнении с минимальным анзацем (2.6). Как видно из приведенных графиков, анзац (4.3) значительно уменьшает абсолютную величину непоперечных конформных моментов  $\Delta\langle\xi^{2N}\rangle_L$ , т. е. лучше учитывает поперечность векторного коррелятора.

### 5. АМПЛИТУДА РАСПРЕДЕЛЕНИЯ ПИОНА

Полученная модель позволяет более точно рассчитать моменты  $\langle \xi^{2N} \rangle$  AP пиона  $\varphi_\pi(x, \mu^2)$ , введенной в [23] и определяемой согласно

$$\langle 0 | \bar{d}(z) \gamma^\mu \gamma_5 u(0) | \pi(P) \rangle \Big|_{z^2=0} = i f_\pi P^\mu \int_0^1 dx e^{ix(zP)} \varphi_\pi(x, \mu^2). \quad (5.1)$$

Напомним, что из-за отсутствия спина у пиона он дает вклад только в структуру  $q_\mu q_\nu$  коррелятора аксиальных токов (см. (3.2), (3.3)), операторное разложение которого в безмассовой КХД связано с коррелятором векторных токов простыми соотношениями [24]. Эта структура выделяется из полного коррелятора проекцией на  $n^\mu n^\nu$  и дает согласно (3.9), (3.10) моменты  $\Delta \Pi_T^N$ . Так же как и в случае продольных структур, нас интересуют не сами моменты  $\Delta \Pi_T^N$ , а их линейные комбинации, отвечающие конформным моментам

$$\Delta \langle \xi^{2N} \rangle_T \equiv \int_0^1 (2x-1)^{2N} \varphi_T(x) dx = \sum_{k=0}^{2N} (-2)^{2N-k} \binom{2N}{k} \Delta \Pi_T^{2N-k}, \quad (5.2)$$

которые затем используются в правилах сумм КХД для AP пиона.

**Моменты  $\langle \xi^N \rangle_\pi(\mu_0^2)$ , определенные при  $\mu_0^2 = 1,35 \text{ ГэВ}^2$**

| Модель           | $f_\pi, \text{ ГэВ}$ | $N = 2$   | $N = 4$   | $N = 6$  | $N = 8$  | $N = 10$ |
|------------------|----------------------|-----------|-----------|----------|----------|----------|
| Минимальная [12] | 0,137(8)             | 0,266(20) | 0,115(11) | 0,060(7) | 0,036(5) | 0,025(4) |
| Улучшенная       | 0,140(13)            | 0,290(29) | 0,128(13) | 0,067(7) | 0,040(5) | 0,025(4) |

Результаты анализа  $\langle \xi^{2N} \rangle_\pi$  в правилах сумм КХД [12] представлены в таблице. Как видно из таблицы, значения амплитуды распределения пиона и ее моментов в новой модели систематически отличаются от соответствующих величин в минимальной модели. На рис. 5 приведена область допустимых коэффициентов Гегенбауэра  $a_2$  и  $a_4$ , задающих AP пиона в виде разложения по полиномам Гегенбауэра  $C_n^m(x)$ , являющимся собственными функциями однопетлевого ядра эволюции:

$$\varphi_\pi(x; \mu^2 = 1,35 \text{ ГэВ}^2) = 6x\bar{x} \left[ 1 + a_2 C_2^{3/2}(2x-1) + a_4 C_4^{3/2}(2x-1) \right]. \quad (5.3)$$

Для проверки самосогласованности процедуры восстановления AP по пяти определенным значениям конформных моментов мы использовали тот же прием, что и в предыдущем анализе [11, 12]: было построено специальное ПС для обратного момента  $\langle x^{-1} \rangle_\pi$  и результат его обработки ( $\langle x^{-1} \rangle_\pi^{\text{ПС}}$ ) сравнивался с определяемым AP (5.3):

$$\langle x^{-1} \rangle_\pi^{\text{AP}} = 3(1 + a_2 + a_4). \quad (5.4)$$

Для значения  $\lambda_q^2 = 0,4 \text{ ГэВ}^2$  мы получили следующие значения:

$$\langle x^{-1} \rangle_\pi^{\text{AP}} = 3,25 \pm 0,20; \quad \langle x^{-1} \rangle_\pi^{\text{ПС}} = 3,40 \pm 0,34,$$

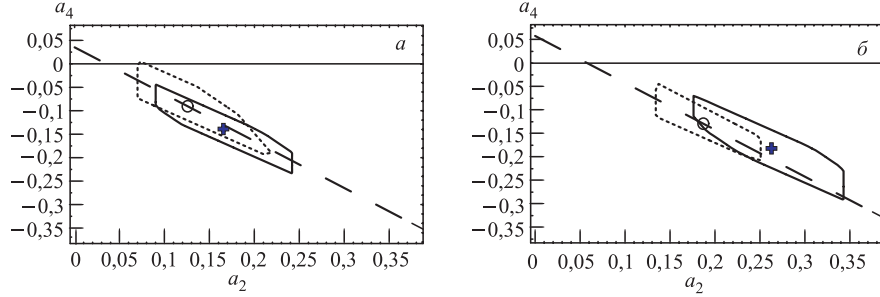


Рис. 5. Область допустимых значений параметров ( $a_2$ ,  $a_4$ ) для улучшенной модели (сплошная линия) в сравнении с областью для минимальной модели (пунктирная линия); а) результаты, полученные для значения  $\lambda_q^2 = 0,5 \text{ ГэВ}^2$ ; б) для значения  $\lambda_q^2 = 0,4 \text{ ГэВ}^2$ . Все значения приведены для значения параметра перенормировки  $\mu^2 = 1,35 \text{ ГэВ}^2$

а для значения  $\lambda_q^2 = 0,5 \text{ ГэВ}^2$ :

$$\langle x^{-1} \rangle_{\pi}^{\text{AP}} = 3,08 \pm 0,15; \quad \langle x^{-1} \rangle_{\pi}^{\text{PC}} = 3,27 \pm 0,35.$$

В обоих случаях полученные разными способами значения обратных моментов хорошо согласуются друг с другом, что свидетельствует о разумности используемой процедуры восстановления AP.

## ЗАКЛЮЧЕНИЕ

В данной работе мы рассмотрели гауссову модель нелокальности вакуумных кварковых и кварк-глюонных конденсатов в КХД и проанализировали лоренцеву структуру коррелятора  $\Pi_{\mu\nu}(q)$  двух векторных кварковых токов. Оказалось, что в минимальной гауссовой модели вакуума КХД, использовавшейся в работах [4, 11–13], поперечность этого коррелятора нарушена и нелокальные конденсаты не согласованы с уравнениями движения КХД.

Для исправления этой ситуации мы предложили улучшенную гауссову модель непертурбативного вакуума КХД (2.8), минимально согласованную с уравнениями движения КХД, в которой указанное нарушение калибровочной инвариантности минимизировано специальным выбором параметров (4.3).

Используя эту модель нелокального вакуума КХД, мы проанализировали правила сумм КХД для пионной AP и показали, что правила сумм КХД приводят к двухпараметрическому «пучку» допустимых моделей для пионной AP с параметрами  $a_2$  и  $a_4$ , показанными на рис. 5 для двух значений параметра нелокальности КХД-вакуума,  $\lambda_q^2 = 0,4$  и  $0,5 \text{ ГэВ}^2$ . Эти модели хорошо согласуются с результатами обработки независимого правила сумм для обратного момента пионной AP,  $\langle x^{-1} \rangle_{\pi}^{\text{PC}}$ .

Особо хотим подчеркнуть тот факт, что полученная ранее в минимальной гауссовой модели непертурбативного вакуума КХД модель BMS [12], показанная на рис. 5 символом  $\circ$ , находится внутри нового двухпараметрического «пучка» допустимых моделей. Это говорит, с одной стороны, о преемственности обоих подходов, а с другой — о том, что все

характерные черты старого «пучка» BMS присущи и новому «пучку»: на рис. 6 видно, что в сравнении с моделью CZ [25] (штриховая линия, которой отвечают параметры

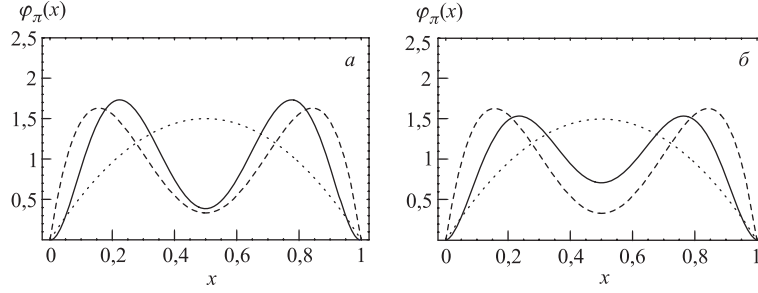


Рис. 6. Профили пионных АР, отвечающих центральным точкам «пучков», для значения параметра нелокальности  $\lambda_q^2 = 0,4 \text{ ГэВ}^2$ ; а) сплошная линия — результат, полученный в улучшенной гауссовой модели нелокального вакуума КХД (символ  $\oplus$  на рис. 5, б); б) сплошная линия — результат минимальной модели (модель BMS, символ  $\circ$  на рис. 5, б). Для сравнения показаны также асимптотическая АР (пунктирная линия) и АР Черняка–Житницкого (CZ) [25] (штриховая линия)

$a_2 = 0,52$  и  $a_4 = 0$  при  $\mu^2 = 1,35 \text{ ГэВ}^2$ ) диктуемые (при  $\lambda_q^2 = 0,4 \text{ ГэВ}^2$ ) нелокальными правилами сумм КХД-модели (сплошные линии) сильно подавлены в концевых точках  $x = 0$  и  $x = 1$ , хотя также являются двугорбыми. Такое разное поведение приводит к совершенно разным значениям обратных моментов АР:  $\langle x^{-1} \rangle_{\pi}^{\text{CZ}} = 4,56$ , в то время как для нашего «пучка»  $\langle x^{-1} \rangle_{\pi} = 3,24 \pm 0,20$ , а для «пучка» BMS [12]  $\langle x^{-1} \rangle_{\pi} = 3,16 \pm 0,08^1$ .

Авторы благодарны А. Дорохову, С. Михайлову, Н. Стефанису и О. Теряеву за плодотворные обсуждения и критические замечания. Работа выполнена при частичной поддержке РФФИ (грант № 06-02-16215) и программы «Гейзенберг–Ландау» (грант 2006 г.).

## Приложение А

### ВКЛАДЫ $O(\alpha_s \langle \bar{\psi}\psi \rangle^2)$ -ПОРЯДКА

Вклады  $O(\alpha_s \langle \bar{\psi}\psi \rangle^2)$ -порядка в  $\Pi_{\mu\nu}^N$  представляются четырьмя объектами: билкальный векторный конденсат ( $\Delta_{2V}\Pi_{\mu\nu}^N$ ), трилокальный кварк-глюон-кварковый конденсат ( $\Delta_{\bar{q}Aq}\Pi_{\mu\nu}^N$ ), четырехкварковые конденсаты  $\Delta_{4Q_1}\Pi_{\mu\nu}^N$  и  $\Delta_{4Q_2}\Pi_{\mu\nu}^N$ . Мы рассматриваем вклады, отвечающие диаграммам рис. 2 и 3, а вклад от зеркально-сопряженных диаграмм учтем с помощью симметричных соображений (см. разд. 4)

$$\Delta_{2V}\Pi_{\mu\nu}^N = \frac{i}{(nq)^N} \int dx e^{iqx} \left\langle \bar{u}(0)\gamma_{\mu}(-in\vec{\nabla}_0)^N \overline{d(0)}\bar{d}(x)\gamma_{\nu}u(x) \right\rangle; \quad (\text{A.1})$$

<sup>1</sup>Заметим, что меньшие ошибки в анализе [12] связаны с их оценкой только по стабильности результата относительно вариаций борелевского параметра  $M^2$  в пределах «окна доверия» ПС КХД. В нашей работе мы учитывали внутренние ошибки метода ПС КХД и считали, что суммарная ошибка полученных результатов не может быть меньше 10 %.

$$\Delta_{\bar{q}Aq}\Pi_{\mu\nu}^N = \frac{i(ig)}{(nq)^N} \int dx e^{iqx} \int dy \times \\ \times \left\langle \bar{d}(0)\gamma_\mu(-in\vec{\nabla}_0)^N \overline{u(0)\bar{u}(y)\gamma_\rho\hat{A}_\rho(y)u(y)\bar{u}(x)\gamma_\nu d(x)} \right\rangle; \quad (\text{A.2})$$

$$\Delta_{4Q_1}\Pi_{\mu\nu}^N = \frac{i(ig)^2}{(nq)^N} \int dx e^{iqx} \int dy \int dz \times \\ \times \left\langle \bar{d}(0)\gamma_\mu(-in\vec{\nabla}_0)^N \overline{u(0)\bar{u}(y)\gamma_\rho\hat{A}_\rho(y)u(y)\bar{u}(x)\gamma_\nu d(x)\bar{d}(z)\gamma^\lambda\hat{A}_\lambda(z)d(z)} \right\rangle; \quad (\text{A.3})$$

$$\Delta_{4Q_2}\Pi_{\mu\nu}^N = \frac{i(ig)^2}{(nq)^N} \int dx e^{iqx} \int dy \int dz \times \\ \times \left\langle \bar{d}(0)(-in\vec{\nabla}_0)^N \overline{\gamma_\mu u(0)\bar{u}(y)\gamma_\rho\hat{A}_\rho(y)u(y)\bar{u}(z)\gamma^\lambda\hat{A}_\lambda(z)u(z)\bar{u}(x)\gamma_\nu u(x)} \right\rangle. \quad (\text{A.4})$$

Интересующие нас величины  $\Delta_k\Pi_L^N(M^2)$ ,  $k = 2V$ ,  $\bar{q}Aq$ ,  $4Q_1$  и  $4Q_2$ , входящие в (4.1), определяются (3.8), где

$$\begin{aligned} H_1 &= N(N+1)\bar{\Delta}_1\Delta_2^2 + H_2\frac{\Delta_2}{\Delta_1} - NH_3, \\ H_2 &= -\bar{\Delta}_1((N+3)\Delta_1\Delta_2(\bar{\Delta}_1 - \Delta_3) + \Delta_3(3\Delta_2 + 2\Delta_1\bar{\Delta}_1)), \\ H_3 &= \Delta_2((N+(N+3)\Delta_1)\Delta_2\bar{\Delta}_1 + \Delta_3(3\Delta_2 + \Delta_1\bar{\Delta}_1 - (N+3)\Delta_1\Delta_2)), \\ G_1 &= -N(N+1)\Delta_2^2\bar{\Delta}_1(\bar{\Delta}_1 - \Delta_2)^2 + G_2\frac{\Delta_2}{\Delta_1} - G_3N, \\ G_2 &= \bar{\Delta}_1^2\Delta_2[3(N+1)(N+2)\Delta_2^2 - (N+1)(N+3)\Delta_1\Delta_2^2 + N(N+3)\Delta_1\bar{\Delta}_1\Delta_2 + \\ &\quad + (N+3)\Delta_1\bar{\Delta}_1^2] + \bar{\Delta}_1\Delta_3(\bar{\Delta}_1 - \Delta_2)[(N+1)(\bar{\Delta}_1 + 2)\Delta_2^2 + \\ &\quad + (N-1)\Delta_1\bar{\Delta}_1\Delta_2 + 3\bar{\Delta}_1\Delta_2 + 2\Delta_1\bar{\Delta}_1^2], \\ G_3 &= -\Delta_2(\bar{\Delta}_1 - \Delta_2)[\Delta_1\Delta_3(\bar{\Delta}_1 - \Delta_2)^2 + 3\Delta_2\Delta_3(\bar{\Delta}_1 - \Delta_2) + \\ &\quad + \Delta_2\bar{\Delta}_1(N\bar{\Delta}_1 + (N+3)(\Delta_1\bar{\Delta}_1 + \Delta_2(\bar{\Delta}_1 + 1)))] , \\ F_1 &= (n+1+\bar{\Delta})(n+2)(n+3), \quad F_2 = \bar{\Delta} - (n+3)[(n+1)(n+4)\Delta + 1], \\ F_3 &= (n+3)\bar{\Delta} - 1, \end{aligned}$$

а  $\Delta = \Lambda_S/M^2$ ,  $\bar{\Delta} = 1 - \Delta$ ,  $\Delta_i = \alpha_i/M^2$ ,  $\bar{\Delta}_1 = 1 - \Delta_1$ .

Для поперечных компонент  $\Delta_k\Pi_T^N(M^2)$  (см. (3.10)) соответствующие величины даются выражениями

$$\begin{aligned} \tilde{\varphi}(\alpha_1, \alpha_2, M^2) &= \frac{x\theta(\Delta_1 - \bar{x})}{\Delta_1^2\Delta_2\Delta_1^2} \left( \bar{x}\Delta_2\bar{\Delta}_1 + \log\left(\frac{x\Delta_1\bar{\Delta}_2}{x\Delta_1 - (\Delta_1 - \bar{x})\Delta_2}\right) \Delta_1(\Delta_1 - \bar{x})\bar{\Delta}_2 \right); \\ \tilde{\varphi}_1(\alpha_1, \alpha_2, \alpha_3, M^2) &= \left(\frac{\Delta_3}{\Delta_2} - \frac{\bar{\Delta}_1}{\Delta_2}\right) \delta(\bar{x} - \Delta_1) - \left(1 - \frac{\bar{\Delta}_1}{\Delta_2}\right) \delta(\bar{x} - \Delta_1 - \Delta_2) - \\ &\quad - \frac{x(x\Delta_3 + \Delta_2(\Delta_1 + \Delta_3 - 1))}{\Delta_1^2\Delta_2^2} \theta(\bar{x} - \Delta_1) \theta(\Delta_1 + \Delta_2 - \bar{x}); \end{aligned}$$

$$\begin{aligned}\tilde{\varphi}_2(\alpha_1, \alpha_2, \alpha_3, M^2) &= - \left(1 - \frac{\bar{\Delta}_1}{\Delta_2}\right) \delta(\bar{x} - \Delta_1 - \Delta_2) + \\ &+ \frac{x(2(\Delta_1 - \bar{x})\Delta_3 + \Delta_2(\Delta_1 + \Delta_3 - 1))}{\bar{\Delta}_1\Delta_2^3} \theta(\bar{x} - \Delta_1) \theta(\Delta_1 + \Delta_2 - \bar{x}); \\ \tilde{\varphi}_3(\alpha_1, \alpha_2, \alpha_3, M^2) &= - \frac{x((\Delta_1 - \bar{x})\Delta_3 + \Delta_2(\Delta_1 + \Delta_3 - 1))}{\bar{\Delta}_1^2\Delta_2^2} \theta(\bar{x} - \Delta_1) \theta(\Delta_1 + \Delta_2 - \bar{x}),\end{aligned}$$

где  $\Delta_i = \alpha_i/M^2$ ,  $\bar{\Delta}_i = 1 - \Delta_i$  и  $\bar{x} = 1 - x$ .

Отметим, что результат представлен для параметрических функций  $f_i(\alpha_1, \alpha_2, \alpha_3)$  и  $f_S(\alpha)$  таких, что при интегрировании вклад дают области  $\alpha_1 + \alpha_2 < M^2$ ,  $\alpha_1 + \alpha_3 < M^2$  и  $2\alpha < M^2$ . Для анзаца (1.1), (2.8) эти условия соответствуют области, в которой работают ПС КХД.

## Приложение Б

### КОНФОРМНЫЕ МОМЕНТЫ

Рассмотрим линейные комбинации моментов  $\Delta\Pi_L^N$ , отвечающие конформным моментам

$$\Delta\langle\xi^{2N}\rangle_L \equiv \int_0^1 (2x-1)^{2N} \varphi(x) dx = \sum_{k=0}^{2N} (-2)^{2N-k} \binom{2N}{k} \int_0^1 x^{2N-k} \varphi(x) dx,$$

которые и анализируются в правилах сумм КХД для АР мезонов. В конформные моменты З.С.-диаграммы дают такой же вклад, что и посчитанные нами диаграммы: если  $x$ -плотность, отвечающая посчитанным моментным диаграммам, есть  $\varphi_0(x)$ , тогда  $\varphi_0(1-x)$  отвечает З.С.-диаграммам и

$$\int_0^1 (2x-1)^{2N} \varphi_0(x) dx = \int_0^1 (2x-1)^{2N} \varphi_0(1-x) dx.$$

То есть полный вклад в конформный момент определенной диаграммы равен удвоенному вкладу одной из двух З.С.-диаграмм

$$\Delta\langle\xi^{2N}\rangle_L = 2 \int_0^1 (2x-1)^{2N} \varphi_0(x) dx.$$

Обозначая

$$\Delta\tilde{\Pi}_0^k \equiv \int_0^1 x^k \varphi_0(x) dx,$$

мы получаем сразу же необходимые нам конформные моменты

$$\Delta\langle\xi^{2N}\rangle_L = 2 \sum_{k=0}^{2N} (-2)^k \binom{2N}{k} \Delta\tilde{\Pi}_0^k.$$

СПИСОК ЛИТЕРАТУРЫ

1. *Mikhailov S. V., Radyushkin A. V.* Nonlocal Condensates and QCD Sum Rules for Pion Wave Function // JETP Lett. 1986. V. 43. P. 712–715.
2. *Mikhailov S. V., Radyushkin A. V.* Quark Condensate Nonlocality and Pion Wave Function in QCD: General Formalism // Sov. J. Nucl. Phys. 1989. V. 49. P. 494–529.
3. *Bakulev A. P., Radyushkin A. V.* Nonlocal Condensates and QCD Sum Rules for the Pion Form-Factor // Phys. Lett. B. 1991. V. 271. P. 223–230.
4. *Mikhailov S. V., Radyushkin A. V.* The Pion Wave Function and QCD Sum Rules with Nonlocal Condensates // Phys. Rev. D. 1992. V. 45. P. 1754–1759.
5. *Mikhailov S. V.* Nonlocal Gluonic Condensate in QCD Sum Rules for the Meson Wave Functions // Phys. At. Nucl. 1993. V. 56. P. 650–657.
6. *Baier V. K., Pinelis P.* Effect of Vacuum Fluctuations on Cross-Sections of Hard Processes in QCD. Preprint IYF-81-141. Novosibirsk, 1981. P. 4.
7. *Gromes D.* Space-time Dependence of the Gluon Condensate Correlation Function and Quarkonium Spectra // Phys. Lett. B. 1982. V. 115. P. 482–486.
8. *Shuryak E. V.* The Role of Instantons in Quantum Chromodynamics // Nucl. Phys. B. 1982. V. 203. P. 116–139.
9. *Radyushkin A. V.* Pion Wave Function from QCD Sum Rules with Nonlocal Condensates // Proc. of Workshop «Continuous Advances in QCD», Minneapolis, Feb. 18–20, 1994. River Edge, N. J., 1994. P. 238–248.
10. *Bakulev A. P., Mikhailov S. V.* QCD Sum Rules for Pion Wave Function Revisited // Z. Phys. C. 1995. Bd. 68. S. 451–458.
11. *Bakulev A. P., Mikhailov S. V.* The Rho Meson and Related Meson Wave Functions in QCD Sum Rules with Nonlocal Condensates // Phys. Lett. B. 1998. V. 436. P. 351–362.
12. *Bakulev A. P., Mikhailov S. V., Stefanis N. G.* QCD Based Pion Distribution Amplitudes Confronting Experimental Data // Phys. Lett. B. 2001. V. 508. P. 279–289; Erratum // Phys. Lett. B. 2004. V. 590. P. 309–310.
13. *Bakulev A. P., Mikhailov S. V., Stefanis N. G.* On a QCD Based Pion Distribution Amplitude Versus Recent Experimental Data // Proc. of the 36th Rencontres De Moriond on QCD and Hadronic Interactions, Les Arcs, March 17–24, 2001. Singapore, 2002. P. 133–136.
14. *D'Elia M., Di Giacomo A., Meggiolaro E.* Gauge Invariant Quark–Anti-Quark Nonlocal Condensates in Lattice QCD // Phys. Rev. D. 1999. V. 59. P. 054503(1–6).
15. *Bakulev A. P., Mikhailov S. V.* Lattice Measurements of Nonlocal Quark Condensates, Vacuum Correlation Length, and Pion Distribution Amplitude in QCD // Phys. Rev. D. 2002. V. 65. P. 114511(1–10).
16. *Dorokhov A. E., Esaibegian S. V., Mikhailov S. V.* Virtualities of Quarks and Gluons in QCD Vacuum and Nonlocal Condensates within Single Instanton Approximation // Phys. Rev. D. 1997. V. 56. P. 4062–4068.



17. *Dorokhov A. E. et al.* Nonlocal Gluon Condensate within a Constrained Instanton Model // *Eur. Phys. J. C.* 2000. V. 13. P. 331–345.
18. *Radyushkin A. V.* QCD Sum Rule Calculation of the Isgur–Wise Form-Factor // *Phys. Lett. B.* 1991. V. 271. P. 218–222.
19. *Mikhailov S. V., Radyushkin A. V.* The Process  $\gamma^* \gamma^* \rightarrow \pi^0$  and Nonlocality of Condensates // *Sov. J. Nucl. Phys.* 1990. V. 52. P. 697–703.
20. *Andrei N., Gross D. J.* The Effect of Instantons on the Short Distance Structure of Hadronic Currents // *Phys. Rev. D.* 1978. V. 18. P. 468–481.
21. *Dorokhov A. E., Broniowski W.* Vector and Axial-Vector Correlators in a Nonlocal Chiral Quark Model // *Eur. Phys. J. C.* 2003. V. 32. P. 79–96.
22. *Fock V.* Proper Time in Classical and Quantum Mechanics // *Phys. Z. Sow.* 1937. Bd. 12. S. 404–425;  
*Швингер Ю.* Частицы, источники, поля. М.: Мир, 1976. Т. 1;  
*Smilga A. V.* Calculation of Power Corrections in Fixed-Point Gauge // *Yad. Fiz.* 1982. V. 35. P. 473–484.
23. *Radyushkin A. V.* Deep Elastic Processes of Composite Particles in Field Theory and Asymptotic Freedom. JINR Preprint P2-10717. Dubna, 1977. 7 p.
24. *Bakulev A. P., Mikhailov S. V.* QCD Vacuum Tensor Susceptibility and Properties of Transversely Polarized Mesons // *Eur. Phys. J. C.* 2000. V. 17. P. 129–135.
25. *Chernyak V. L., Zhitnitsky A. R.* Exclusive Decays of Heavy Mesons // *Nucl. Phys. B.* 1982. V. 201. P. 492–526; Erratum // *Nucl. Phys. B.* 1983. V. 214. P. 547(E).

Получено 7 сентября 2006 г.